

电 机 学

第三册

Г. Н. 彼特罗夫主编

高等教 育出 版社



PDG

14.3



统一书号 15010·785
定价 1.00

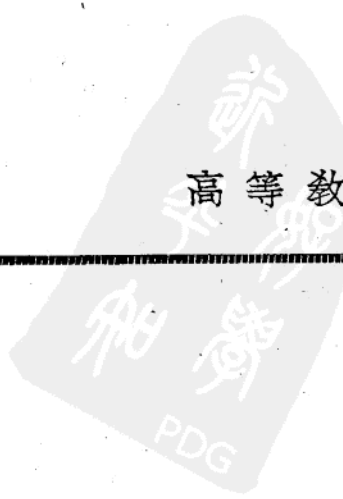


电 机 学

第三册

Г. Н. 彼特罗夫主编
吴 铁 坚 编 譯

高等 教育 出 版 社



PDG

本書系根據蘇聯國立動力出版社出版的 Г. Н. 彼特羅夫 (Г. Н. Петров) 教授主編“電機學”第一冊 (Электрические машины, часть I) 1940年版編譯的。原書經蘇聯電站人民委員會教育司審定為動力高等工業學校的教科書。

原書總論和變壓器部分已經有了新版，新版譯本已由我社于1958年6月出版，譯者是天津大學電力機械教研室。為了供應學校教學之需，我社決定按照旧版將其餘部分(交流電機理論的一般問題，異步電機，同步電機，直流電機，換流機，交流整流子電機)編譯出版。這些部分分為三冊，即第二、三、四冊(第一冊因已有了新版譯本，不再編譯了)，第二冊內容包括交流電機理論的一般問題和異步電機，第三冊內容包括同步電機，第四冊是根據蘇聯動力出版社出版的 Г. Н. 彼特羅夫著“電機學”第二冊 1947年版翻譯的，內容包括直流電機、換流機和交流整流子電機。

本書是第三冊，它綜合研究同步電機的各種問題。這些知識是工科大學的電機製造、發電廠、輸配電以及和電機有關的其他電工部門各專業的學生所必需的。

編譯者根據目前同步電機發展情況，刪去了原書中一些已經過時了的材料，增添了最近幾年在同步電機製造方面的新成就，并補充了一些国产同步電機的技術數據。

本書對於從事電機製造和電機運行的工程技術人員也有參考價值。

電　　機　　學

第三冊

Г. Н. 彼特羅夫教授主編

吳鉄堅編譯

高等教育出版社出版北京宣武門內美惠堂7號

(北京市書刊出版業營業登記證字第054號)

京華印書局印裝 新華書店發行

統一書號 15010·755 單本 787×1092 1/16 印張 57/8

字數 205000 印數 3000—7,000 定價 (7) 元 1.00

1959年7月第1版 1959年7月北京第1次印刷



主要字母符号

- E_0 ——在定子繞組中由氣隙磁通感应的电势。
 E_s ——在定子繞組中由合成的氣隙磁通感应的电势。
 E_a ——在定子繞組中感应的漏电势。
 E'_d ——在定子繞組中的瞬变电势(为了近似地确定同步电机在瞬变过程时的电磁功率)。
 $I_{k\phi}$ ——在相当于无载时額定电压激磁下的稳定三相短路电流的倍数。
 f_{KH} ——同上, 在額定激磁下。
 f_0 ——自由振荡频率。
 I ——定子电流。
 I_k ——稳定的三相短路电流。
 $I_{k\nu}$ ——稳定的短路电流(下标 ν 說明短路状态: $\nu=3$ ——三相, $\nu=2$ ——两相, $\nu=1$ ——單相)。
 $I_{k\phi 0}$ ——当两相与中綫短路时在中綫中的稳定电流。
 I_n ——激磁电流。
 I'_{dm}, I''_{dm} ——在突然短路时瞬变和超瞬变过程的定子电流周期性分量最大初值(ν 参看 $I_{k\nu}$)。
 $I_{d\nu}, I'_{d\nu}, I''_{d\nu}$ ——在突然短路时瞬变, 超瞬变过程的定子电流周期性分量的有效(均方根)值(ν 参看 $I_{k\nu}$)。
 I'_a, I''_a ——在突然短路时瞬变, 超瞬变过程的定子电流非周期性分量的初值。
 i ——定子电流的瞬时值。
 i_n ——激磁繞組电流的瞬时值。
 i'_d, i''_d ——在突然短路时瞬变, 超瞬变过程的定子电流周期性分量的瞬时值。
 i'_a, i''_a ——同上, 对于定子电流非周期性分量。
 J ——机组旋转部分的慣量。
 k_d ——定子縱軸磁勢对激磁繞組的折合系数。
 k_q ——同上, 为定子橫軸磁勢。
 M_d ——电磁力矩。
 M_a ——比整步力矩。
 M_p ——起动力矩。
 M_q ——进入力矩。
 P_ϕ ——电磁功率 P_ψ 的分數值。
 P_c ——比整步功率。
 P_τ ——电功率。
 P'_ψ ——在瞬变过程时的电磁功率。
 r ——在直流电时的定子繞組电阻。
 r_n ——同上, 为激磁繞組。
 r_a ——对順序电流的定子繞組有效电阻。
 r_s, r_0 ——同上, 对逆序和零序电流的。
 r_{rd} ——沿縱軸阻尼籠的有效电阻。
 T_{d0} ——在定子繞組开路时激磁繞組时间常数。
 T'_d ——在瞬变过程期间决定定子电流周期性分量衰减的时间常数。
 T''_d ——同上, 为超瞬变过程。
 T_a ——决定定子电流非周期性分量衰减的时间常数。
 T_0 ——自由振荡周期。
 x_1, x_2, x_0 ——对于順序、逆序与零序电流的定子繞組电抗。
 x_c ——同步电抗。
 x_{ad} ——取决于縱軸電枢反应的定子繞組电抗。
 x_{aq} ——同上, 取决于橫軸的。
 x_d, x'_d, x''_d ——沿縱軸的定子繞組电抗; 同步, 瞬变和超瞬变。
 x_b, x'_q, x''_q ——同上, 对于橫軸。
 x_n ——在定子繞組开路时的激磁繞組电抗。
 x_h ——同上, 在定子繞組閉合时。
 x_s ——定子繞組的漏抗。
 x_{ns} ——同上, 对于激磁繞組。
 x_{csd} ——同上, 对于沿縱軸的阻尼繞組。
 x_{csq} ——同上, 对于沿橫軸的阻尼繞組。
 x''_{cd} ——在定子繞組和激磁繞組閉合时沿縱軸的阻尼繞組电抗。
 x_p ——波梯(Horne)电抗。
 θ ——电压 \dot{U} 和电势 $\dot{\psi}$ 间的位移角(决定同步电机的电磁功率)。
 Θ_a ——定子繞組磁勢。
 Θ_{ad} ——折合至激磁繞組磁勢的縱軸電枢反应磁勢。
 Θ_{aq} ——同上, 对于橫軸。
 Θ_r ——定子和轉子的合成磁勢。
 Φ_0 ——在气隙中的激磁繞組(極)磁通量。
 φ ——定子电压和电流的相位移角。
 ψ ——电势 $\dot{\psi}$ 和定子电流 \dot{i} 的相位移角。

目 录

第五章 同步电机

5-1. 概述	1
a) 領定值	1
b) 定子繞組	1
c) 同步电机的激磁	2
5-2. 三相同步發电机·對稱負載	3
a) 無載情況	3
b) 电樞反應	4
c) 电樞電抗	5
d) 电樞繞組的有效電阻	6
e) 向量圖	6
f) 隱極电机的向量圖(波梯圖)	7
g) 凸極电机的向量圖(布郎迭爾圖)	9
h) 簡化的向量圖(彭-愛遜堡圖)	14
i) 變換過的凸極电机的向量圖	15
j) 相對單位制在同步电机理論中的應用	17
k) 特性曲綫和向量圖	18
l) 短路特性	18
m) 負載特性	20
n) 外特性	21
o) 調整特性	23
p) 短路電流的倍數	24
5-3. 單相同步發电机	24
a) 構造	24
b) 單相發电机和三相發电机的比較	24
c) 單相同步發电机的电樞反應	25
d) 阻尼繞組	27
e) 有阻尼繞組的單相發电机电樞反應的計算和向量圖	27
5-4. 三相發电机的不对称負載	28
a) 不对称負載下的向量圖	28
b) 逆序電流的容許值	29
c) 不对称短路	30
d) 參數 Z_2 与 Z_0 及其試驗確定	34
5-5. 發电机的并联运行	38
a) 整步和投入并联运行	39
b) 同步發电机与功率无穷大电网的并联运行	43
c) 两台容量相近的發电机的并联运行	49
d) 凸極电机的电磁功率与整步功率	50
e) 同步电机的过载能力	51
5-6. 同步电动机	52
a) 电机从發电机状态过渡到电动机状态	52
b) 同步电动机的向量圖	52
c) 同步电动机的电磁功率和整步功率	54
d) 同步电动机的V形曲綫	55
e) 同步电动机的起动	60
f) 同步电动机的起动特性和起动短路圖	63
g) 同步电动机的运行特性	66
h) 同步电动机应用范围和异步电动机的比較	66
5-7. 同步补偿器	68
5-8. 并联运行电机間有功功率和无功功率的分配	70
5-9. 反应式同步电机	72
5-10. 同步發电机在容性負載的运行	72
5-11. 同步电机突然短路	73
a) 无阻尼繞組同步电机的三相短路	74
b) 有阻尼繞組同步电机的三相短路	80
c) 两相及單相短路	83
d) 短路电流的一般方程式	84
e) 短路冲击电流	85
f) 同步电机的参数	86
g) 短路电流的作用	87
h) 采用双绕组發电机以限制短路电流	92
5-12. 同步电机的振荡	92
a) 同步电机在振荡过程中作用在轉子上的轉矩	93
b) 周期性变化的轴上力矩作用下轉子的振荡	95
c) 电机單独运行时轉子的振荡	96
d) 共振系数或增大系数	97
e) 当电机轴上的力矩为冲击式变化时轉子的振荡	97
f) 阻尼繞組对同步电机振荡过程的影响	99
g) 自由振荡的频率和周期的計算公式	100
h) 一般結論	100
i) 自振荡的現象	101
5-13. 同步电机的动态稳定	102
a) 在瞬变过程时电机的电磁功率	102
b) 动态稳定的概念	104
5-14. 同步电机的波过程	106
a) 波过程的一般特征	106
b) 纹波絕緣	107
c) 波过程时定子繞組的参数	108
5-15. 同步电机的損耗与效率	109
a) 同步电机的損耗	109
b) 效率	112
5-16. 同步电机的發热与冷却	112
a) 發热	112
b) 冷却	113
5-17. 同步电机的构造及其發展远景	121
a) 同步电机的构造	121
b) 同步电机發展远景	134
c) 我国同步电机制造發展概況	136
文献	127

第五章 同步电机

第一章 1-5 已經把同步电机的构造和运行原理予以一般性的描述。根据这些预备知識以及第三章中所討論的交流电机理論的一般性問題，下面将闡明同步电机更詳尽的理論并引导出关于同步电机結構上的基本知識。

为了更好地掌握后面的内容，首先討論与同步电机有关的某些一般性問題，这些問題在第一章 1-5 里未曾談到过。

5-1. 概述

a) **額定值**。同步电机指定的运行状态，以电机名牌(表格)上所標記的額定值表征。標記在同步电机名牌上的有：1) 电机指定的运行状态(發电机，电动机或补偿器); 2) 容量(發电机——視在功率用伏安、千伏安或兆伏安表示，电动机——軸上功率用瓦、千瓦或兆瓦表示，补偿器——无功功率用伏安、千伏安或兆伏安表示。); 3) 線电流，用安培表示；4) 線电压用伏或千伏表示；5) $\cos \varphi$ (对于电动机一般在 $\cos \varphi$ 数值前面另加“領前”字样); 6) 相数；7) 定子繞組的接法(星形或三角形)；8) 頻率，用赫表示；9) 轉速(每分鐘轉數)；10) 激磁电压；11) 最大允許的激磁电流，用安培表示(額定激磁电流是指相應于額定运行状态下的激磁电流)。必須指出，如果变压器的允許負載完全取决于視在容量的千伏安数，那么，对于同步發电机來說，它的輸出容量的千伏安数并不完全决定其允許負載。同时還須指明發电机負載的 $\cos \varphi$ 。这是因为發

电机以落后电流运行时， $\cos \varphi$ 愈低，这电流对主磁場的祛磁作用就愈大；因此 $\cos \varphi$ 愈低，需要更大的激磁电流以保持發电机端的額定电压。

6) **定子繞組**。第三章中所研究过的交流繞組可用作同步电机的定子(电樞)繞組。

在这方面，同步电机的定子和异步电机的定子沒有任何区别。但各种交流繞組按其本身的性能是各不相同的，所以它們并不是同样广泛地用于同步电机。通常短节距($y \approx 0.8\tau$) 双層繞組获得了最普遍的推广。这种繞組既用于小容量同步电机，也用于巨型的汽輪發电机和水輪發电机。

小容量和中等容量(60—80 千伏安以下)的电机采用半开口槽。大容量电机采用开口槽。

根据电流的大小，繞組制造成多匝式(每元件有若干匝)或条式(每元件一匝)。小容量和中等容量电机的多匝式繞組的制造已在第四章 4-1 中討論过。

在大容量电机中，多匝式繞組的線圈做成相同的形状，其線匝由許多通常截面不超过15 平方公厘的并联导体所組成。每根导体有石棉絕緣。每一匝用云母帶絕緣。所有線匝一起沿線圈全長用許多層云母帶絕緣(所謂“連續絕緣”)。線圈用云母帶絕緣后再加压。絕緣好了的線圈在真空中烘干，然后在同一鍋爐內在压力下浸漆。線圈直線部分的外表面扎上半導体的石棉帶，使繞組离开槽处的電場均匀，因而防止該处發生无声放电。

上述的絕緣种类属于 B 級(參看第一章 1-8)。

① 在电动机状态下运行的无功功率發电机称为同步补偿器。

条式繞組是由半圈所組成，半圈的導條是由截面不超过 15—20 平方公厘且用石棉絕緣的獨立的導體編成的。用云母帶對條式繞組進行絕緣和多匝式繞組的相似。

半圈彼此用特制的并头套連接起來，并且焊接在一起。極數多的時候常采用波繞組，以免掉位于各磁極下綫圈群間的連接線。但每極每相槽数為分數時不可能繞成波繞組，有時候采用分數槽是为了減小高次齒諧波。

圖 5-1 所示的蘇聯第聶伯水電站水輪發電機定子槽的截面為大容量電機繞組絕緣的例子。

b) 同步電機的激磁。一般以并激發電機作為同步電機激磁用的直流電源，它和同步電機連在同一軸上。這發電機稱為激磁機。

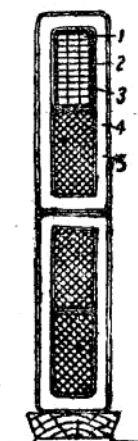


圖 5-1. 13800 伏第聶伯水電站的水輪發電機定子繞組的槽部分絕緣。1—用石棉絕緣的紫銅條；2—綫匝絕緣：云母帶厚为 0.127 公厘，單層半疊式；3—0.15 公厘厚的棉紗帶，單層緊接式；4—槽絕緣：0.127 公厘厚的云母帶，十六層半疊式；5—0.4 公厘厚的石棉帶，緊接式，上面塗一層漆。
繞組在壓力下浸漆。

同步電機和激磁機合畫在一起的普通的線路圖如圖 5-2 所示。其中 *S* 表示定子繞組，*R* 表示同步電機的激磁繞組，*B* 表示激磁機的電樞。在線路圖中還有兩個變阻器：*MP* 和 *WP*。前者稱為磁場調整器，後者稱為分路調整器。分路調整器是借助於調節激磁機的激磁電流，因而，也就是借助於改變激磁機端電壓來改變同步電機的激磁電流。經過磁場調整器的是同步電機的全部激磁電流。因此調整磁場調整器

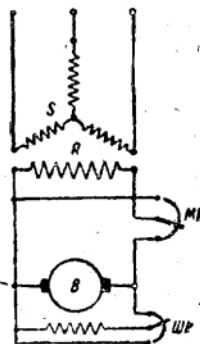


圖 5-2. 同步電機激磁線路圖。

能够直接改变激磁电流的大小。

磁场調整器显然比分路調整器的尺寸要大得多，因而磁场調整器的損耗要比分路調整器大。所以目前在很多場合下，特別是汽輪發電機及大型水輪發電機，只采用分路調整器，以便

降低成本和运行时的損耗，同时安装的地方也經濟。激磁电路的电压一般不超过 250 伏。激磁机的容量介于电机額定容量的 0.3 到 1% 范圍內，并且对于大型电机，激磁机容量選擇得略微富裕些：例如“电力”工厂的汽輪發電機的激磁机，它的容量超出相当于汽輪發電機滿載时激磁功率的 70—100 %。

現代的汽輪發電機及大型水輪發電機的激磁机的磁路通常运行于欠飽和情况。对应于同步電機全激磁功率的負載下的电压位于无載特性曲線十分靠近直線的部分。这一电压比切除分路調整器时的極限电压低得多，約為極限电压的 50—70 %。極限（最大）电压等于額定电压的 135—140 %。

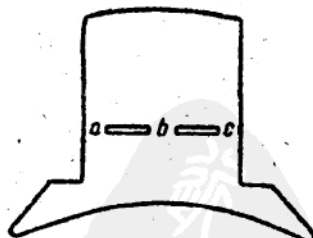


圖 5-3.
上述大型同步電機激磁機的特點是为了力圖加快調整电压的速度，以提高电机并联运行的稳定性（參看第五章 5-13）。

为了保证激磁机本身充分稳定地运行于无载特性曲线的直线部分，磁极铁心采用特殊的构造^①。图 5-2 表示这类构造之一。极芯内的切口减小了它的有效截面。由于 a、b 和 c 处饱和，激磁机无载特性曲线在开始部分已有些弯曲。适当地选择 a、b、c 处的截面，在激磁机两端可以得到相当稳定的并且比它的额定值低得多的电压。

近来大型同步电机常采用的不是自激的激磁机，而是从与主激磁机连在同一轴上的另一台辅助激磁机激磁。

“电力”工厂出产的约 4000 千伏安以及容量更大的大型水轮发电机，它的激磁机是它激的。这种激磁线路如图 5-4 所示。图中除了主激磁机 B 以外，还画有被称为副激磁机的辅助激磁机 BB。

激磁机在他激

时，电压调节的范围可能比自激时大得多。此外，同步电机调节电压的速度可以显著地提高，这就使得它和其他同步电机并联运行更加稳定。

5-2. 三相同步发电机·对称负载

a) 无载情况。我们从研究无载开始来討

^① 关于直流发电机稳定运行的问题将在第六章详细讨论。

论同步发电机的运行。

同步发电机的无载情况就是指电枢绕组的电流等于零时的运行状态。在这种情况下，电机中的磁场将只由激磁绕组产生。

在无载时，和激磁绕组交链的磁通可以认为由两部分组成，通过空气隙中并与电枢绕组交链、在电枢绕组中感应电势 E_0 的这部分磁通，我们称之为磁极磁通或气隙磁通，用 Φ_0 表示；仅和激磁绕组相交链的另一部分磁通则称为磁极漏磁通。

磁极的磁势和由这磁势所产生的、不随时间变化但在空间旋转的磁场，与在时间上交变，但对电枢绕组不动的相应的磁势和磁场类似。正象指出的那样，可以在同步电机和变压器间举出相似之点：激磁绕组相当于变压器的原边绕组，而电枢绕组相当于变压器的副边绕组。

当转子以恒定的速度旋转时，由磁通 Φ_0 与电枢绕组所组成的磁链数，一般按照近似于正弦的规律作周期性的变化，因此，磁通 Φ_0 及电势 E_0 可用时间向量表示。

无载特性曲线是同步发电机最重要的特性之一。如前所述，如电机所用材料的磁化曲线、磁路的几何尺寸以及电枢绕组的数据已知，则

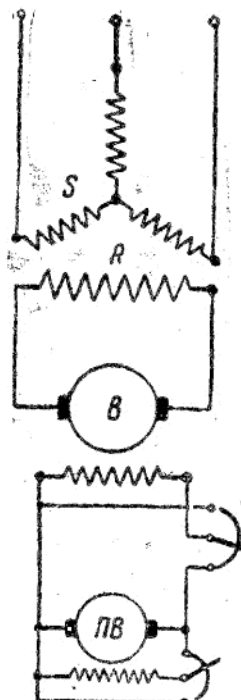


图 5-4.

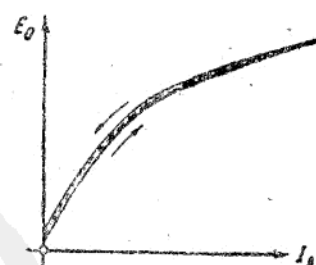


图 5-5.

无载特性曲线可用计算方法作出。无载特性曲线也可用实验方法得到。为此，发电机必需由任一原动机以额定速度拖动，改变激磁绕组电流 I_0 自零到某一最大值，然后反过来从同一最大

值减小到零。测出与每一规定的激磁电流相对应的电枢端电压，得到无载特性曲线的两条支线——上升的和下降的（图 5-4）。由磁极和磁轭中磁滞现象所决定的支线间的差别不大：相当于同一激磁电流两条支线纵坐标的差额，一般不超过额定电压的 3—4%。实际计算时可取位于上升和下降曲线之间平均位置的曲线作为实际的或真正的无载特性曲线。在图 5-5 上此曲线用虚线表示。

根据大量现代同步发电机的无载特性曲线比较结果，可以确认，如果这些无载特性曲线都以相对单位作图时，那么，它们彼此之间的差别是很小的。

类似特性曲线已表示于图 3-91, 3-92，在实际计算时可以利用。不論是凸極机或是汽輪发电机，实际的无载特性曲线和标准特性曲线相差一般不超过 $\pm 5\%$ 。

5) 电枢反应。我們研究三相发电机在对称负载下的稳定运行过程，这时候，发电机在它自己的独立电网 上运行，与其他的同步发电机无关。

当发电机有负载时，电枢绕组中将流通电流，它的磁势引起空载电机磁场的变化，因而导

致电枢绕组感应电势的变化。此外，在绕组内产生电压降落，因此，在一般情况下，负载时电机的端电压和无载时的电压不同。

电枢磁势对电机磁场的作用称为(定子的)电枢反应。

首先从性质上討論电枢反应現象。电枢反應数量上的計算，象电枢繞組内部电压降落一样，借助于向量圖来进行，向量圖将在以后討論。

电枢繞組流过电流时产生磁势。当各相电流組成对称的向量星时，这磁势是圆形的旋轉磁勢，如果只取各相磁勢的基波，在任一瞬间，磁勢沿电枢圆周为正弦分布。这个圆形旋轉磁勢和电机的磁極同一的方向并以相同的速度旋转，亦即对磁極相对不动，因而有可能談到电枢磁勢对电机磁场一定的作用。如果不改变发电机的負載，这作用的結果是不变的。

同步发电机能够以落后或領前的电流运行，亦可以在电流与磁極磁通的感应电势同相的情况运行。

电流和电势同相时的电枢反应。图 5-6, a₁ 表示电流 I 、电势 E_0 和磁極磁通 Φ_0 的向量。用 ψ 代表的、向量 E_0 和 I 间的角度等于零。

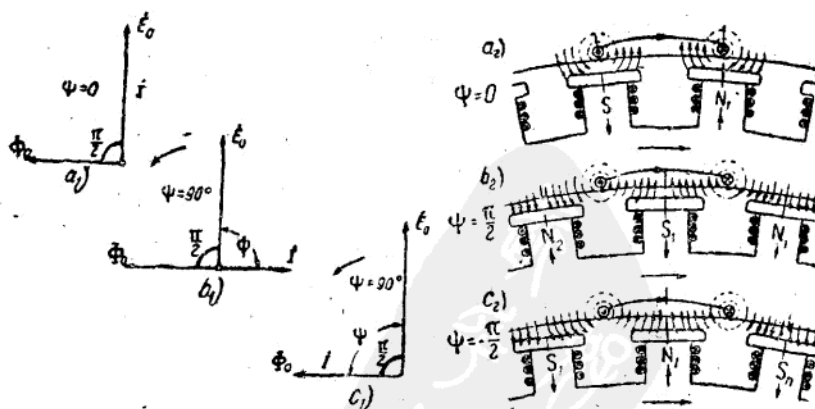


圖 5-6.

这里电势 E_0 是指无载时磁極磁通 Φ_0 在电樞繞組內感应的电势。在負載时，和电樞繞組交鏈的磁通显然要发生变化，因而它所感应的电势也要改变。圖 5-6, a_2 表示电机磁極及只有一相的定子，并且用一个綫圈来代表这一相繞組，当該相与磁極的相对位置如圖所示时，繞組內感应电势将达到最大，因为在此瞬间，穿过綫圈的磁極磁通等于零。显然，相电流也将最大，因为 $\Psi=0$ 。以前曾經講过，多相繞組所产生的旋轉磁勢的軸線和电流为最大的那一相的軸線重合。因而由三相电樞繞組所产生的旋轉磁勢的軸線与圖 5-6, a_2 所画的綫圈的軸線重合。

在此圖上表示出电樞繞組所产生的磁场感應綫。磁场感應綫的方向依据感应电流方向用螺旋法則决定，在表明了的旋轉方向和磁極極性下，感应电流的方向可用右手法則决定。从圖 5-6, a_2 可見，电樞磁场对磁極軸綫是正交的，因此产生电樞磁场的电樞磁勢称为正交作用磁勢。圖 5-6, a_2 說明，电樞磁勢削弱磁極前半部的磁场，而增强磁極后半部的磁场。

电流 I 落后电势 E_0 90° 时的电樞反应（參看圖 5-6, b_1 ）。圖 5-6, b_2 表示綫圈电流为最大的瞬间，綫圈（相）对磁極的位置。电流比电势迟四分之一周期达到最大值，也就是磁極从电势为最大值的位置向右移动半个極距后电流才达到最大值。正象从圖 5-6, b_2 所見，在所討論的情况，綫圈軸綫与磁極軸綫重合，因而这里的电樞磁场是縱軸的，故产生它的磁勢是縱軸作用的。它将減弱磁场，也就是起法磁作用。圖 5-35 所示两極同步电机的例子中，橫軸和縱軸电樞反应磁场的相互方位可以看得特別清楚。

电流 I 領前电势 E_0 90° 的电樞反应（參看圖 5-6, c_1 ）。这里电流比电势早四分之一周期达到最大值，也就是当磁極对綫圈处于如圖 5-

5, c_2 所示的位置时，綫圈中的电流为最大。显然，电流的方向和四分之一周期以后的电势方向相同。由圖 5-6, c_2 可見，在这种情况下，电樞磁勢也是縱軸作用的但它将增强电机磁场，也就是起增磁的作用。

在一般情况下，电流对电势相差的角度大于零，但其絕對值小于 90° ，我們可以把电流分为 $I \sin \psi$ 和 $I \cos \psi$ 两个分量（圖 5-7, a 和 b ），并且分別討論这些电流分量中的每一分量所产生的磁勢的作用。因此得到以下結論：在落后电流时，發电机中的电樞反应将是祛磁的。而在領前电流时则为增磁的。

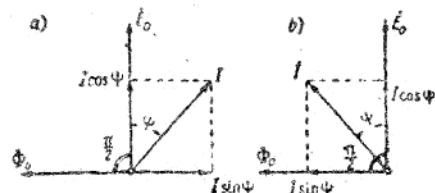


圖 5-7.

从性质上討論了电樞反应以后，先阐明当負載时电机中将出現怎样的磁场，电樞繞組的内部电压降落又是些什么。此后再轉到研究向量圖和电樞反应的数量計算。

如上所述，在无载时，电机中的磁场仅由激磁繞組所产生。这磁场大部分的感應綫沿着电机的主磁路通过，也就是通过空气隙。电樞的齿和铁芯，通过轉子的磁極和磁轭。这一部分磁场，仿照变压器，可以称之为为主磁场或互感磁场。由激磁繞組所产生的磁场感應綫的另一部分只与激磁繞組交鏈。它組成激磁繞組的漏磁场。

变压器与同步电机之間的类比，甚至可以推广到电机带負載的运行情况，因为此时磁场将由激磁繞組磁勢和电樞繞組磁勢的共同作用所产生的。在时间上不变，而在空間旋轉的这

两个磁势和它們所产生的磁场，将与在时间上交变，但对电枢繞組不动的相应的磁势和磁场是等效的，因此，正如从圖 5-6 所見，可以認為两个磁势軸綫間的空間位移角度 $90^\circ + \psi$ ，和这两个磁势在时间上的同值的相位移是相当的。

一部分磁场感应綫仅与电枢繞組交鏈。这些磁场感应綫組成电枢漏磁鏈 ψ_s 。

为了决定合成磁势以及合成磁势所产生的磁场，把定子磁势和轉子磁势相加时，必須考慮到它們的空間分布。凸極机和隱極机的气隙磁场和磁通的計算将在后面討論。

b) 电枢漏抗，作为同步电机电枢繞組某一个参数的漏抗的概念是从第三章中曾經討論过的漏磁场的一般定义得来的。

可以設想电枢的漏磁场只与电枢繞組交鏈，而与电机的其他磁场无关。实际上这磁场的部分感应綫将通过电枢的齿及其铁芯，而那里也經過电机主磁场的感应綫，但一般認為这些磁场彼此互不影响。同时可以認為：漏磁鏈只决定于漏磁场感应綫所經過的空气部分的磁导。后一假設可以使电枢电流与漏磁鏈之間取正比的关系，从而可以使电枢电流与漏磁鏈所感应的电势之間取正比的关系，即可以写成：

$$\dot{E}_s = -jI_s x_s \quad (5-1)$$

其中 \dot{E}_s 为漏电势， x_s 为电枢漏抗，它的数值可以看作是恒定的。

正如在第三章 3-4, 6 所指出，电枢繞組的漏磁场可分为三部分：槽內的磁场，繞組端接周圍的磁场以及决定于电枢繞組高次谐波磁势的气隙磁场。在同步电机中，这三部分磁场的前两部分是主要的，并且漏抗 x_s 的大小主要是由前两部分所决定。电抗 x_s 中与气隙磁场有关的部分比較小，例如，繞組是短节距，并且每極每相槽数很多的汽輪發电机，与气隙磁场有关的这部分一般不大于 x_s 的 3—4%。在每極每

相槽数不多而且繞組端接相当短的低速电机中，气隙的高次谐波磁场表現得比較突出些，因此， x_s 中决定于气隙高次谐波磁场的部分也将大些，它平均达到 x_s 的 20%。

大型同步电机的漏抗 x_s 不应小于某一定值，因为容量大于 2000 千伏安的电机的短路冲击电流，要求不超过額定电流振幅值的 15 倍，短路冲击电流主要决定于 x_s 。这种情形在設計大型同步电机时必須考慮。 x_s 的計算方法如第三章所述。

i) 电枢繞組的有效电阻。电枢繞組的有效电阻 r_a 比它的直流电阻 r 大些，这是由于电枢繞組的漏磁场所感应的涡流所致。在現代大型电机中，这个增量一般是个不大的值，而主要是在大型电机才必須考慮这个增量。对于这样电机，往往采取一系列的措施以減小漏磁场所引起的損耗。用換位的導線芯做成定子繞組应当看成是最有效的方法，即用特殊方法把若干根單元导体彼此綴合在一起的導線芯制造定子繞組。电枢繞組的有效电阻及由它引起的电阻压降不大，例如，对大型电机來說，电阻压降小于額定电压的 1%。电阻 r 和 r_a 的大小按照第三章 3-5, a 来計算。

ii) 向量圖。三相發电机在对称負載时，各相所發生的現象完全一样，因此，研究电机的一相并只对电机的一相作出电压、电流和磁势的向量圖就足够了。

同步电机有許多問題是必須通过向量圖来解决的。

在計算电机时，为了决定在各种負載条件下激磁繞組所需要的磁势，以及决定由負載所引起的电压变化，必須繪制向量圖；在这种情况下，向量圖根据电机的計算数据繪制。

在电机成品試驗时，为了用間接的方法，即不用实际加負載决定电压变化时也必須作向量

圖，由於試驗的條件所限，實際加負載總難實現，即使實現得了，也因發電機容量巨大而浪費了時間和費用；在這種情況下，向量圖的繪制是根據用實驗方法決定的發電機的特性曲線以及它的繞組參數來進行的。

先討論根據計算的數據作向量圖。根據實驗數據作向量圖將在以後討論發電機的特性曲線時說明。

e) 隱極機的向量圖(波梯圖)。在計算隱極機時，一般借助於 A. 波梯(A. Potier)所提出的向量圖，這個向量圖與變壓器的向量圖類似。

在計算隱極機時，如要作出向量圖，需要具備從計算方法所決定的無載特性曲線、電樞繞組的參數 x_s 、 r_s 以及定子和轉子的繞組數據。按照第三章所述電樞反應磁勢基波的振幅(每極)決定於：

$$\theta_a = 1.35 k_w \frac{wI}{p} \quad (5-2)$$

只在決定電抗 x_s 時才考慮高次諧波磁勢。

圓柱形轉子激磁繞組的磁勢用下法決定。

假設轉子繞組占 $\frac{2}{3}\pi$ ，而且放置繞組的每極槽数相當之多，轉子磁勢曲線可以看成高為 $\frac{1}{2} I_n s_r q_r$ 的梯形，這裡 I_n 是激磁繞組中的電流， q_r 是放置繞組的每極槽数，而 s_r 是每槽導體數(圖 5-8)。激磁繞組梯形磁勢曲線的基波

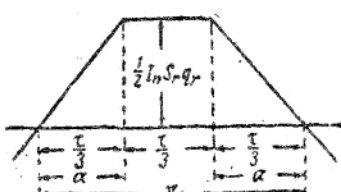


圖 5-8.

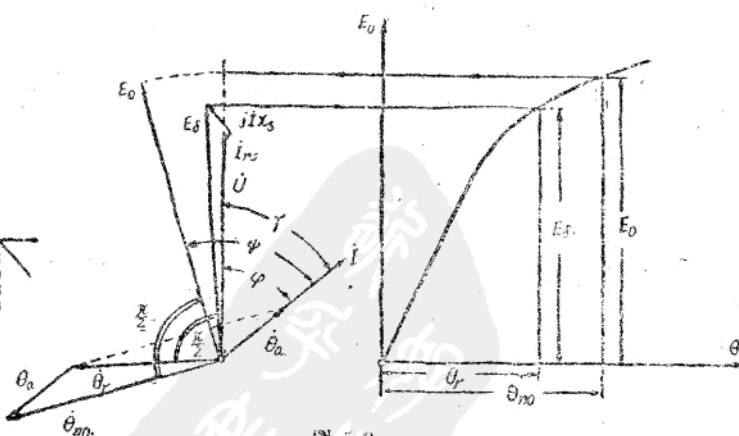


圖 5-9.

振幅等於

$$\theta_{m0} = \frac{4 \sin \alpha}{\pi - \alpha} \frac{1}{2} I_n s_r q_r, \quad (5-3)$$

轉子磁勢曲線中其他的諧波可以忽略不計，因為在 $\alpha = \frac{\pi}{3}$ 時，次數為 3 的倍數的諧波振幅都等於零，而其餘的諧波是微不足道的。因而，在 $\alpha = \frac{\pi}{3}$ 時，激磁繞組的磁勢(每極的)等於

$$\theta_{m0} = \frac{1.05 I_n w_r}{2p}, \quad (5-4)$$

其中 $w_r = s_r p q_r$ 是激磁繞組的全部串聯匝數。

這樣，我們便得到兩個振幅各為 θ_a 及 θ_{m0} 的正弦分布磁勢，它們可以用彼此相差 $90^\circ + \phi$ 的兩時間向量來表示。正如所指出的，這兩個磁勢與變壓器的副邊繞組和原邊繞組的磁勢相似。把向量 $\dot{\theta}_a$ 和 $\dot{\theta}_{m0}$ 加起來以後得到作用於電機中的合成磁勢。

在計算時，常常需要在給定的(通常是額定的)數值：電流 I 、電壓 U 及 $\cos \phi$ 下決定激磁繞組的磁勢。對於隱極機，這個問題可以用波梯圖來解決。圖 5-9 表示發電機在落後電流運行時的向量圖。先作向量 \dot{U} 以及與 \dot{U} 成已知角 ϕ 的向量 \dot{I} 。然後在向量 \dot{U} 上添加電壓降落的向量：電阻降落 $jI r_s$ 和漏磁通所感應的 $jI x_s$ 降落。用這種方法便求得氣隙合成磁通在電樞繞組中所感應的電勢向量 \dot{E}_s 。這一合成磁通

是由磁势 $\dot{\theta}_a + \dot{\theta}_{n0} = \dot{\theta}_r$ 所产生的。从 \dot{E}_s 自无载特性曲线上求出此磁势 $\dot{\theta}_r$ 。在向量图上，向量 $\dot{\theta}_r$ 必须画在领前向量 \dot{E}_s 的 90° 。知道了合成磁势 $\dot{\theta}_r$ 及其一个分量 $\dot{\theta}_a$ (后一个向量必须画在 \dot{I} 的方向)，我们便求得另一个分量 $\dot{\theta}_{n0}$ ，如图 5-9 所示^①。

在同一图中还表明了，在同一激磁磁势 $\dot{\theta}_{n0}$ 下决定发电机无载时所感应的电势 E_0 。因此借助于隐极电机的向量图可以决定发电机的电压变化，所谓电压变化是指当激磁电流和转速不变的情况下，自额定负载状态转变为无载状态时电压的上升。这电压上升一般用额定电压的百分率表示。因此电压的变化率为

$$\Delta U \% = \frac{U_0 - U_n}{U_n} \cdot 100, \quad (5-5)$$

其中 $U_0 = E_0$ 。

上述的作图法，虽然它没有十分精确地考虑转子的饱和，但是是可以用于实际的计算。不精确的地方是：包括在 $\dot{\theta}_r$ 内的转子磁极和轭部分的磁位降由对应于电势 E_s 的磁通和对应于磁势 $\dot{\theta}_r$ 的转子漏磁通来决定，其实转子漏磁通所对应的并不是磁势 $\dot{\theta}_r$ ，而是磁势 $\dot{\theta}_{n0}$ ，也就是说，当发电机在落后电流运行时，转子漏磁通将会多一些，因而转子的磁极和轭的饱和程度也将高一些。如果从无载特性曲线来决定 $\dot{\theta}_r$ ，我们便会把 $\dot{\theta}_r$ 的大小稍微小估了一些。因为转子磁极和轭的磁位降只是 $\dot{\theta}_r$ 的不甚大的一部分，所以不计转子漏磁的增加实际上是可以允许的^②。

对于以领前电流运行的发电机，其向量图的作图顺序和前一种情况是一样的。此向量图示于图 5-10 中。这里也是先画出已知的向量 \dot{U} 和 \dot{I} ，然后决定电势 E_s 。从 \dot{E}_s 自无载特性曲

线找到合成磁势 $\dot{\theta}_r$ 。其次决定激磁绕组磁势 $\dot{\theta}_{n0}$ ，并且根据它从无载特性曲线来求电势 E_0 。由图 5-10 可见，在以领前电流运行时，发电机电压可能比无载时高。

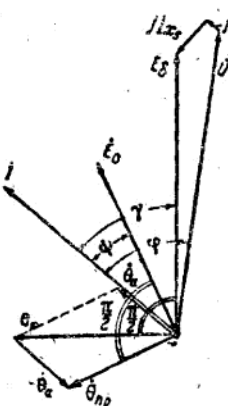


图 5-10

不得不先假定 γ 角的大小(图 5-11)，用逐次逼近法作图，在作图前，角度 γ 还是一个未知量。作图时已知：激磁绕组磁势 $\dot{\theta}_{n0}$ ，无载时的电压或电势 E_0 ，定子电流 I 以及 $\cos \varphi$ 。

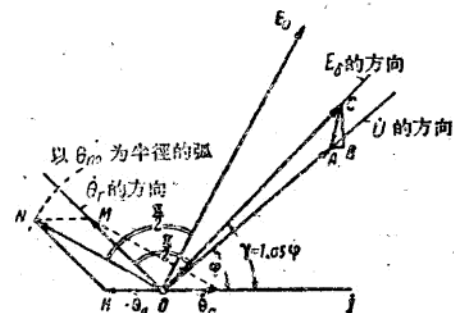


图 5-11

在额定的落后电流情况下， γ 角可近似地取 $\gamma \approx 1.05 \varphi$ (领前电流时取 $\gamma \approx 0.95 \varphi$)。使电流向量 \dot{I} 与横坐标轴重合，向量 \dot{E}_s 的方向与 \dot{I} 成 γ 角度，向量 $\dot{\theta}_r$ 的方向与向量 \dot{E}_s 方向成 90° ，以 $\dot{\theta}_{n0}$ 为半径，从 O 点作一弧。作出了 $OK = \dot{\theta}_a$ 后，平行于向量 $\dot{\theta}_r$ 的方向引 KN 与所作的弧交于 N 点。显然， $KN = OM = \dot{\theta}_r$ 。根据 $\dot{\theta}_r$ 从无载特性曲线找到 \dot{E}_s ，并且在图上画出 $OC = \dot{E}_s$ 。作出了 ΔACB 后，它的 AB 和 BC 边各等于 I_{ra} 和 I_{rs} ，我们求得向量 $OA = \dot{U}$ 的方

^① 如果作向量图时，用与磁势成正比的激磁电流 I_r 来代替磁势 $\dot{\theta}_{n0}$ ，那么整个磁势向量三角形必须除以 $\frac{1.05 w_r}{2P}$ ，这从式(5-4)可以推知。在这种情况下，向量图上的 θ_a (5-2) 必须代以

$$\theta_a \frac{2P}{1.05 w_r} = 2.57 k w l \frac{w_r}{w_r}$$

^② 例如参考 P. 里煦特尔 (Puxrep) 著电机学第 II 卷，第 143 页(俄译本)。

向和大小，它也就是所求的負載時的电压。如果角度 γ 是猜对了，那么 \overline{OA} 与 \vec{I} 之間的角度應該等于給定的角度 φ 。否则必須改变 γ 并且重新作圖。

作波梯向量圖決定电压降这个課題，也可用 X. H. 科特金德^① 所提出的方法来解决。这个方法避免了猜测 γ 角的必要性。方法如下(圖 5-12)。画磁勢向量 $\theta_a = OL$ ，并且，以 θ_{m0} 为半徑，从 L 点画圆弧。然后画出几个向量 $\dot{\theta}_r$ 的可能的位置。利用无載特性曲綫，对每一求得的向量 $\dot{\theta}_r$ 成 90° ，取相应的电势值 $E_s(\overline{OC_1}, \overline{OC_2}, \overline{OC_3} \dots)$ 。将 $C_1, C_2, C_3 \dots$ 各点連成平滑的曲綫。按照所給的電樞繞組阻抗作出压降(I_{ra} 和 I_{xa})三角形 $OB'C'$ 后，通过 C' 点平行于 OQ 作直綫 $C'C$ ，这里 OQ 与电流向量 \vec{I} 成給定的角度 φ 。显然，C 点便给出所求的向量 $\vec{E}_s = \overline{OC}$ 的位置。平行于 \overline{OQ} 引 CA 与直綫 OQ 相交得到电机端电压 $\vec{U} = \overline{OA}$ 。

从波梯圖得到的結果，对隱極机來說，可以認為是精确的，因为这里在同一合成磁勢振幅下，气隙中的磁場曲綫可以認為与合成磁勢振幅对轉子磁極軸綫的位置无关。

对凸極机來說，后一假定便不能成立，因为在凸極电机中，由合成磁勢所产生的磁場在很大程度上取决于这磁勢軸綫对于磁極軸綫的位置。因此，对于凸極机中电樞反应的計算采用別的方法——即 A. 布郎迭尔(A. Blondel)所提出的双反应法。根据此法所作的向量圖称为布郎迭尔圖。

a) 凸極电机的向量圖(布郎迭尔圖)。

双反应法是把电樞磁勢分解成縱軸和橫軸两个磁勢为基础的。电樞磁勢的縱軸分量等于

$$\theta_d = \theta_a \sin \psi. \quad (5-6)$$

^① “电”杂志, 1928, 92 頁。

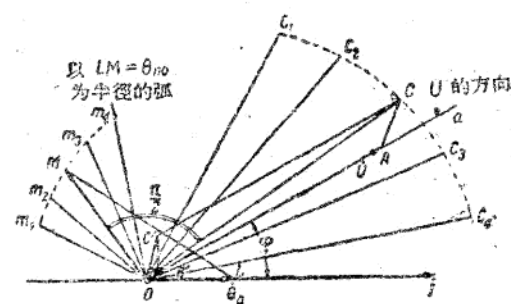


圖 5-12.

此磁勢的軸綫与激磁繞組磁勢的軸綫重合， $\psi > 0$ 时， θ_a 与激磁繞組磁勢 θ_{m0} 反向， $\psi < 0$ 时， θ_a 和 θ_{m0} 作用于同一方向。电樞磁勢的橫軸分量等于

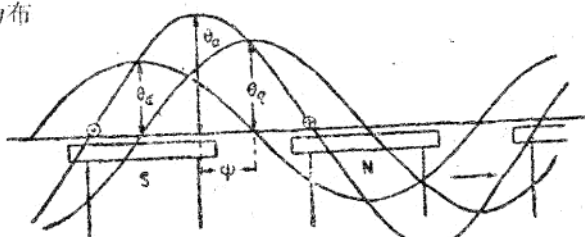
$$\theta_q = \theta_a \cos \psi. \quad (5-7)$$

此磁勢的軸綫与極間空間的正中央重合。

圖 5-13 表示当电流 I 落后于电势 E_0 为 ψ 角度时，电樞磁勢 θ_a 及其分量 θ_d 和 θ_q 的曲綫。由圖 5-13 可見，角度 ψ 是电流經過最大值那一相的軸綫和極間空間正中央軸綫間的角度。

象磁極一样， θ_d 和 θ_q 两磁勢对电樞繞組以同步速度旋轉，因而它們对磁極是靜止的。可以認為这两个磁勢各自建立磁場。

由圖 5-13 可見，縱軸磁勢和橫軸磁勢所产生的磁場感应綫沿着磁導不相等的路徑閉合。因此，对于凸極电机来说， θ_a 与 θ_{m0} 的向量相加不便于决定电机的合成磁場。磁勢 θ_d 和 θ_q 分別研究較为适当。

圖 5-13. 电樞磁勢 θ_a 及其分量——縱軸的 θ_d 和橫軸的 θ_q 的曲綫。

注意圖 5-14。这里 \dot{E}_0 是假定电机中只作用着激磁繞組这一个磁勢时磁通 Φ_0 在电樞繞組中所感应的电势。

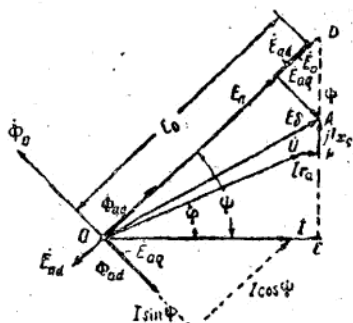


圖 5-14. 凸極電機的向量圖。

電樞反應磁勢的縱軸分量 θ_d 使得沿電機縱軸作用的磁勢減小（當落後電流時），或者是使得沿電機縱軸作用的磁勢增加（當引前電流時），這還引起與此磁勢相應的電勢的變化。

圖 5-14 中的 \dot{E}_n 是在落後電流時，電機合成縱軸磁勢產生的氣隙磁通所感應的電勢，差額 $\dot{E}_0 - \dot{E}_n = \dot{E}_{ad}$ 可以認為是縱軸電樞反應磁通 $\dot{\Phi}_{ad}$ 所感應的電勢。

電樞磁勢橫軸分量 θ_a 在氣隙中產生磁通 Φ_{aq} ，此橫軸電樞反應磁通在電樞繞組中感生落後於電勢 $\dot{E}_0 90^\circ$ 的電勢 \dot{E}_{aq} ，如圖 5-14 所示。合成電勢 $\dot{E}_n + \dot{E}_{aq} = \dot{E}$ ，可以看成是氣隙的合成磁通在電樞繞組中所感應的實際的電勢。一般從 \dot{E} 減去電抗壓降和電阻壓降來求發電機的端电压 \dot{U} 。

在圖 5-14 中所示的向量圖就是以雙反應理論為基礎的凸極電機的向量圖。

電勢 \dot{E}_0 是由集中的激磁繞組磁勢 θ_m 建立的磁極磁通所感應的。電樞反應磁勢 θ_d 和 θ_a 是

由分布的繞組所產生，並且沿電樞圓周是正弦分布的磁勢（圖 5-13）。顯然，為了確定它們沿縱軸的合成共同的磁化作用，不能直接從磁勢 θ_m 減去磁勢 θ_d ，因為這兩個磁勢的空間分布有著重大的區別。尚需考慮 θ_d 所作用的橫軸磁路與縱軸磁路的區別。考慮上述區別的近似方法將在下面闡明。

圖 5-15 中的曲線 B 為無載時氣隙中的磁感應分布曲線或磁場曲線，那時候在電機中只作用著一個激磁繞組的磁勢。我們不計飽和，並且認為激磁磁勢變化時，磁場曲線的形狀仍舊不變。磁場曲線可用下列形式表示：

$$B = c\theta_m f(\gamma), \quad (5-8)$$

因為曲線 B 對於通過磁極中央的軸線對稱，所以式中函數 $f(\gamma)$ 可以表示為只由奇次諧波組成的富理真級數的形式。曲線 B 的縱坐标可看成與相應的磁感應力管的磁導成正比的量，這些磁感應力管可以從已知方法（參閱第三章，3-4）中任一種所作的磁場圖求得。對於 $\gamma = \frac{\pi}{2}$ 的那一點來說，我們認為 $f(\gamma) = 1$ 。

假如只有一個縱軸磁勢單獨地作用著，則用 $c f(\gamma)$ 乘正弦曲線 θ_d 的縱坐标，我們可以相當精確地得到縱軸磁勢所建立的磁場分布曲線（圖 5-15 中的曲線 A ）。當 $\psi > 0$ 時，在 θ_m 和 θ_d 兩個磁勢共同作用下磁場曲線用下列方程式表示：

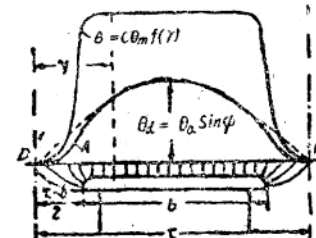


圖 5-15.

$$B_d = C[\theta_m f(\gamma) - \theta_d \sin \gamma f(\gamma) \sin \psi]. \quad (5-9)$$

這一方程式所表示的函數可分解為基波及高次諧波。基波振幅等於

$$B_{d1} = \frac{2}{\pi} \int_0^{\pi} B_d \sin \gamma d\gamma, \quad (5-10)$$

而基波的平均值等於 $\frac{2}{\pi} B_{d1}$ 。若電樞的計算長度（參看第三章，3-4.a）等於 l_i ，那麼，相應於磁場曲線基波的磁通將等於

$$\begin{aligned}\Phi_{d1} &= \frac{2}{\pi} B_{d1} l_{ir} = \frac{4 cl_{ir}}{\pi^2} \int_0^{\pi} [\theta_{no} f(\gamma) \sin \gamma - \\ &\quad - \theta_a \sin \psi f(\gamma) \sin^2 \gamma] d\gamma = \\ &= \frac{4 cl_{ir}}{\pi^2} \int_0^{\pi} f(\gamma) \sin \gamma d\gamma \left[\theta_{no} - \right. \\ &\quad \left. - \theta_a \sin \psi \frac{\int_0^{\pi} f(\gamma) \sin^2 \gamma d\gamma}{\int_0^{\pi} f(\gamma) \sin \gamma d\gamma} \right].\end{aligned}\quad (5-11)$$

引用符号 $\gamma_d = \int_0^{\pi} f(\gamma) \sin^2 \gamma d\gamma$; $(5-12)$

$$\gamma_n = \int_0^{\pi} f(\gamma) \sin \gamma d\gamma; \quad (5-13)$$

$$k_d = \frac{\gamma_d}{\gamma_n}. \quad (5-14)$$

如果只考虑基波，自方程式(5-11)可见，在纵轴铁心电枢反应的作用下，激磁绕组磁势的减小等于

$$\theta_{ad} = \frac{\gamma_d \theta_a \sin \psi}{\gamma_n} = k_d \theta_a \sin \psi. \quad (5-15)$$

方程式(5-11)和(5-15)说明，为了求出在作用上与它等效的激磁绕组磁势，必须把纵轴铁心磁势 $\theta_a \sin \psi$ 乘以系数 k_d ；换句话说，激磁绕组磁势 $\theta_{ad} = k_d \theta_a \sin \psi$ 所建立磁场分布是这样的，它的基波在定子绕组中所感应的电势，和定子绕组磁势 $\theta_a \sin \psi$ 产生的磁场基波所感应的电势一样。

根据无载特性曲线，我们可以求得电机在那种饱和情况下运行时，与激磁磁势 $k_d \theta_a \sin \psi$ 相应的电势 E_{ad} 。根据无载特性曲线决定 E_{ad} 的方法将在以后阐述。磁场的高次空间谐波，由于其振幅不大，通常忽略不计。

如果认为每间空间磁感应力管的磁导等于零，而沿着极弧所有点的磁导相等，当磁极底下的空气隙均匀时，这与实际是近似符合的，那么，系数 γ_d 和 γ_n 的确定可以用不等幅制磁力曲线。那时候与图5-15相似的曲线变成了图5-16中所示的形状。在这种情况下，函数 $f(\gamma)$ 在 γ 自零到 $(1-\alpha)\frac{\pi}{2}$ 和自 $(1+\alpha)\frac{\pi}{2}$ 到 π 的变化范围内等于零，而在 γ 自 $(1-\alpha)\frac{\pi}{2}$ 到 $(1+\alpha)\frac{\pi}{2}$ 的变化范围内等于1(1)，因此

$$\gamma_d = \int_{(1-\alpha)\frac{\pi}{2}}^{(1+\alpha)\frac{\pi}{2}} f(\gamma) \sin^2 \gamma d\gamma = \frac{1}{2} (\alpha\pi + \sin \alpha\pi), \quad (6-16)$$

④ 这里 $\alpha = \frac{b}{r}$ 是极距系数。

$$\gamma_n = \int_{(1-\alpha)\frac{\pi}{2}}^{(1+\alpha)\frac{\pi}{2}} f(\gamma) \sin \gamma d\gamma = 2 \sin \frac{\alpha\pi}{2}. \quad (5-17)$$

$$k_d = \frac{\gamma_d}{\gamma_n} = \frac{\alpha\pi + \sin \alpha\pi}{4 \sin \frac{\alpha\pi}{2}}, \quad (5-18)$$

在作用上与横轴电枢反应磁势等效的激磁绕组磁势的确定问题用类似的方法解决。

绘出横轴磁势所产生的磁感应力管的图形，我们得到这些磁力管沿电枢圆周的磁导分布曲线。

在图5-17中此曲线以 $\varphi(\beta)$ 形状表示。这里 β 角自纵轴算起，并且认为当 $\beta=0$ 和 $\beta=\pi$ 时，函数 $\varphi(\beta)$ 等于1。

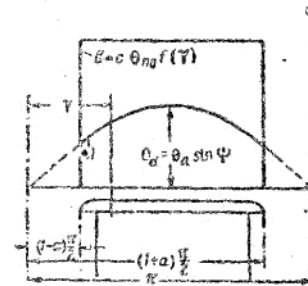


图 5-17.

显然，振幅为 $\theta_a = \theta_a \cos \psi$ 的正弦分布的横轴电枢磁势在 B 点处所建立的磁感应值等于

$$B_q = c\varphi(\beta)\theta_a \cos \psi \sin \beta. \quad (5-19)$$

当 β 变化时，方程式(5-19)是图5-17所示的 B_q 曲线的方程式。如果把这马鞍状曲线分解成富里哀级数，那么，其基波振幅为：

$$B_{q1} = \frac{2}{\pi} \int_0^{\pi} B_q \sin \beta d\beta, \quad (5-20)$$

并且该基波的平均值等于 $\frac{2}{\pi} B_{q1}$ ，而与它相应的气隙磁通

$$\Phi_{q1} = \frac{4 cl_{ir}}{\pi^2} \theta_a \cos \psi \int_0^{\pi} \varphi(\beta) \sin^2 \beta d\beta. \quad (5-21)$$

因为与磁极磁势 θ_{no} 相应的基波电势正比于 $\frac{4 cl_{ir}}{\pi^2} \theta_{no} \gamma_n$ ，所以，为了按照无载特性曲线确定电势 E_{eq} ，必须把横轴磁势乘以系数

$$k_q = \frac{\gamma_d}{\gamma_n} = \frac{\int_{(1-\alpha)\frac{\pi}{2}}^{(1+\alpha)\frac{\pi}{2}} \varphi(\beta) \sin^2 \beta d\beta}{\int_0^{\pi} f(\gamma) \sin \gamma d\gamma}, \quad (5-22)$$

式中 γ_d 和 γ_n 是辅助角度。

和以前一样，不必繪制磁力管分布图形以及从此图形繪